

Solutions cnoïdales de l'équation KdV

On regarde quelles sont les solutions **autres que solitons** de l'équation de Korteweg–de Vries (KdV) dans le cas général, sur l'axe réel et dans le cas des ondes se propageant vers la droite. On s'intéressera ensuite au cas du tore \mathbb{T}^1 , en cherchant les ondes cnoïdales ayant pour période spatiale $T^\xi = 2\pi/n$.

Rappels

Intégrales elliptiques E, F, K

On définit les intégrales elliptiques de 1^{re} et de 2^e espèce, incomplètes ou complètes comme

$$E(\phi|m) = \int_0^\phi \sqrt{1 - m \sin^2 x} \, dx, \quad E(m) = \int_0^{\frac{\pi}{2}} \sqrt{1 - m \sin^2 x} \, dx, \quad (1)$$

$$F(\phi|m) = \int_0^\phi \frac{dx}{\sqrt{1 - m \sin^2 x}}, \quad K(m) = \int_0^{\frac{\pi}{2}} \frac{dx}{\sqrt{1 - m \sin^2 x}}. \quad (2)$$

et l'on rappelle les développements limités ou asymptotiques suivants des intégrales complètes :

$$E(m) \underset{m \rightarrow 0^+}{=} \frac{\pi}{2} - \frac{\pi}{8}m + \mathcal{O}(m^2) \quad (3)$$

$$K(m) \underset{m \rightarrow 0^+}{=} \frac{\pi}{2} + \frac{\pi}{8}m + \mathcal{O}(m^2) \quad (4)$$

$$E(m = 1 - \mu) \underset{m \rightarrow 1^-}{=} 1 + \frac{\mu}{4} [-\log(\mu) - 1 + 4\log(2)] + \mathcal{O}(\mu^2) \quad (5)$$

$$K(m = 1 - \mu) \underset{m \rightarrow 1^-}{=} \left[2\log(2) - \frac{\log(\mu)}{2} \right] + \frac{\mu}{8} [-\log(\mu) - 2 + 4\log(2)] + \mathcal{O}(\mu^2) \quad (6)$$

Fonctions cn, sn, dn, am

On fixe m . Si l'on a $u = F(\varphi|m)$ qui est une fonction \mathcal{C}^∞ de φ , strictement croissante, alors on définit les fonctions elliptiques de Jacobi comme

$$\text{am}(u|m) \stackrel{\text{def}}{=} \varphi = F^{-1}(u|m), \quad (7)$$

$$\text{cn}(u|m) \stackrel{\text{def}}{=} \cos \varphi = \cos[\text{am}(u|m)], \quad (8)$$

$$\text{sn}(u|m) \stackrel{\text{def}}{=} \sin \varphi = \sin[\text{am}(u|m)], \quad (9)$$

$$\text{dn}(u|m) \stackrel{\text{def}}{=} \sqrt{1 - m \sin^2 \varphi} = \sqrt{1 - m \sin^2[\text{am}(u|m)]}. \quad (10)$$

1 Propriétés de l'équation KdV en domaine infini (sur \mathbb{R})

On part de l'équation de Korteweg–de Vries pour des ondes se propageant vers la droite, écrite sous la forme

$$\eta_t + c_0 [(1 + B\eta)\eta_x + D\eta_{xxx}] = 0. \quad (11)$$

En matière de dimension, on a $[B] = L^{-1}$ et $[D] = L^2$.

Régime linéaire : On a $\eta_t + c_0 [\eta_x + D\eta_{xxx}] = 0$. On pose $\eta(x, t) = \varepsilon \exp[i(kx - \omega t)]$ et l'on retrouve la relation de dispersion

$$\omega = c_0 [k - Dk^3]. \quad (12)$$

Quand D est négatif, on est en régime capillaire (relation de dispersion convexe). Quand D est positif, on est en régime gravitaire (relation de dispersion non convexe).

Symétries : Pour $t \mapsto -t$ (renversement du temps), l'équation devient

$$\eta_t - c_0 [(1 + B\eta)\eta_x + D\eta_{xxx}] = 0. \quad (13)$$

et l'on s'occupe alors de solutions se propageant vers la gauche. Elles sont les mêmes que vers la droite sous la transformation $t \mapsto -t$ et $x \mapsto -x$.

2 Recherche des solutions cnoïdales

Les calculs suivants sont tirés du chapitre 5 (p. 529) de la thèse de M. W. Dingemans (1994)¹, plus spécifiquement de la section 5.4, *Periodic Waves*, p. 546.

On cherche des solutions en translation uniforme qui s'écrivent

$$\eta(x, t) = \eta(\xi(x, t)) \quad \text{avec } \xi(x, t) = x - vc_0 t \quad (14)$$

et telles qu'elles soient spatialement périodiques si bien que (11) donne

$$c_0 [(1 - v + B\eta)\eta_\xi + D\eta_{\xi\xi\xi}] = 0. \quad (15)$$

ce qui donne, en intégrant sur ξ

$$c_0 \left[(1 - v)\eta + \frac{B}{2}\eta^2 + D\eta_{\xi\xi} \right] = -c_0 C_1. \quad (16)$$

avec C_1 donné par les conditions aux limites d'intégration, donc donné intrinsèquement par les solutions à trouver elles-mêmes pour être auto-cohérent. On obtient alors une équation de Newton

$$\eta_{\xi\xi} = -\frac{1}{D} \left[C_1 + (1 - v)\eta + \frac{B}{2}\eta^2 \right] = -\frac{dW}{d\eta}. \quad (17)$$

avec le potentiel $W(\eta)$ qui s'écrit (à une constante près)

$$W(\eta) = \frac{1}{D} \left[C_1\eta + \frac{1}{2}(1 - v)\eta^2 + \frac{B}{6}\eta^3 \right]. \quad (18)$$

On a donc, par quadrature, en multipliant par η_ξ puis en intégrant sur ξ

$$\frac{1}{2}\eta_\xi^2 + W(\eta) = \mathcal{E}_0 = \mathcal{H}(q, p). \quad (19)$$

avec \mathcal{H} le hamiltonien de variable conjuguées « cartésiennes » $(q, p) \equiv (\eta, \eta_\xi)$ d'une particule de masse unité dans un potentiel $W(\eta)$. Comparé au cas soliton KdV, une partie linéaire a été ajoutée ($C_1 \neq 0$), correspondant au fait qu'on ne cherche plus de solutions localisées, mais des solutions périodiques. Cela a pour conséquence que $\eta = 0$ ne sera plus racine double du problème $W(\eta) = \mathcal{E}_0$.

La question sera de savoir si en passant en coordonnée azimutale, on peut avoir des solutions périodiques avec une période spatiale $T^\xi = 2\pi$ (sans qu'il s'agisse de « la » période, i.e. la plus petite des périodes).

Étude du potentiel W

C'est une fonction polynomiale cubique, elle sera soit monotone, soit possèdera un minimum local et un maximum local, que l'on notera η_\pm et qui vérifient l'équation $W'(\eta_\pm) = 0$, i.e.

$$C_1 + (1 - v)\eta_\pm + \frac{B}{2}\eta_\pm^2 = 0. \quad (20)$$

On doit pour cela avoir un discriminant positif strictement, soit

$$\Delta = (1 - v)^2 - 2BC_1 > 0. \quad (21)$$

1. M. W. DINGEMANS, *Water wave propagation over uneven bottoms* (1994), disponible à l'adresse : <http://resolver.tudelft.nl/uuid:67580088-62af-4c6f-b32e-b3940584e5d2>

Si la condition est satisfaite, on a alors

$$\eta_{\pm} = \frac{(v-1) \pm \sqrt{(v-1)^2 - 2BC_1}}{B}. \quad (22)$$

La convexité en ces points sera donnée par le signe de $W''(\eta_{\pm})$ et vaut

$$W''(\eta_{\pm}) = \frac{1}{D} [(1-v) + B\eta_{\pm}] = \pm \frac{1}{D} \sqrt{(v-1)^2 - 2BC_1}. \quad (23)$$

Sachant que par hypothèse, le terme sous la racine carrée est positif, le fait d'être un maximum local en η_{\max} (l'un des deux cas où $W''(\eta_{\pm}) < 0$) ou un minimum local en η_{\min} (l'un des deux cas où $W''(\eta_{\pm}) > 0$) sera donné par le signe de D .

On notera $\mathcal{E}_{\min} = W(\eta_{\min})$ et $\mathcal{E}_{\max} = W(\eta_{\max})$. Vu l'allure du potentiel $W(\eta)$, on doit donc osciller en fond de potentiel, autour du minimum local η_{\min} .

Pour des excursions proches du minimum, on a des solutions très proches des sinusoides, celles pour qui $\mathcal{E}_0 \gtrsim \mathcal{E}_{\min}$. Pour $\mathcal{E} = \mathcal{E}_{\max}$, on est sur une séparatrice homocline et la période tend vers l'infini. Entre les deux, on aura des solutions spatialement périodiques. On passe des orbites sinusoidales à des orbites de période « infinie ». L'ensemble de ces orbites correspondant aux ondes cnoïdales.

Question : Peut-on avoir une période qui soit de la forme $2\pi/n$?

Rappel : Pour un hamiltonien qui vaut

$$H(q, p) = \frac{1}{2}p^2 + \frac{1}{2}\Omega^2 q^2, \quad (24)$$

on a un oscillateur harmonique dont la pulsation vaut Ω^2 . Sa période vaut ainsi $T = 2\pi/\Omega$. Au voisinage de η_{\min} , la période spatiale vaut ainsi

$$T^{\xi} = \frac{2\pi}{\sqrt{W''(\eta_{\min})}} = \frac{2\pi|D|^{1/2}}{[(v-1)^2 - 2BC_1]^{1/4}} = \frac{2\pi|D|^{1/2}}{[\Delta]^{1/4}}. \quad (25)$$

Cette quantité donne une borne inférieure de la période spatiale. Si elle est supérieure ou égale à 2π , cela interdit des solutions périodiques.

Remarque : D peut être petit, mais Δ aussi. En revanche, Δ peut être arbitrairement grand pourvu que l'on ait $-BC_1 \gg 1$, donc dans le cas $B > 0$, pourvu que l'on ait $C_1 \ll -1/B$.

Contraintes sur les solutions : dans la mesure où notre supposée équation de KdV périodique concerne des perturbations de la surface libre, il faudra s'assurer que sur une période T^{ξ} , les variations d'élévation ont pour valeur moyenne zéro, i.e.

$$\int_0^{T^{\xi}} \eta(x) dx = 0. \quad (26)$$

Cela implique implicitement que l'on oscille entre les valeurs $\eta_1 \leq \eta(\xi) \leq \eta_2$ avec $\eta_1 < 0$ et $\eta_2 > 0$, sachant que ces deux valeurs vérifient $W(\eta_1) = W(\eta_2) = \mathcal{E}_0$, les creux ou bosses marqués des cnoïdales correspondant à η_{\min} . On sera proche de l'homocline et l'on passera donc beaucoup de « temps » ξ près de η_{\max} .

2.1 Cas standard ($B > 0$, $D > 0$) et élévations (a priori supersoniques)

On suppose le cas KdV standard où ($B > 0$, $D > 0$) et pour lequel, on a $v > 1$ pour les solitons en élévation (supersoniques).

Cas à éliminer (a priori) : $C_1 > 0$ Dans le cas où $C_1 > 0$, on a

$$\eta_{\max} = \eta_- > 0, \quad (27)$$

$$\eta_{\min} = \eta_+ > \eta_- > 0. \quad (28)$$

On oscillera donc entre des valeurs de η positives (cf. Fig. 1 (a)). Ce n'est pas ce que nous recherchons comme solution. On a écrit en tête de paragraphe qu'on éliminait ce cas a priori. En fait, on pourra le garder dans le cas $v - 1 < 0$ (cf. conclusions).

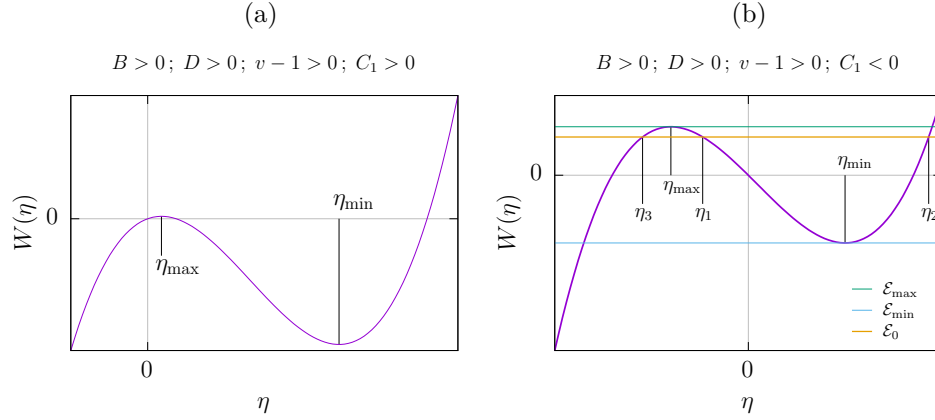


FIGURE 1 – Notations et allure des potentiels dans le cas $D > 0$ et $B > 0$, pour (a) $C_1 > 0$ et (b) $C_1 < 0$.

On va donc supposer dorénavant que $C_1 < 0$. Sous ces conditions, on a

$$\eta_{\max} = \eta_- < 0, \quad (29)$$

$$\eta_{\min} = \eta_+ > 0. \quad (30)$$

On va choisir \mathcal{E}_0 dans l'intervalle $]\mathcal{E}_{\min}, \mathcal{E}_{\max}[$. L'équation $W(\eta) = \mathcal{E}_0$ possède trois solutions $\eta_3 < \eta_1 < \eta_2$ et l'orbite recherchée sera telle que $\eta \in [\eta_1, \eta_2]$. L'un des présupposés concernant η_1 sera tel que $\eta_1 < 0$ (cf. Fig. 1 (b)). Sachant que $W(0) = 0$, cela implique donc $0 < \mathcal{E}_0 < \mathcal{E}_{\max}$. On doit maintenant résoudre l'équation

$$\frac{1}{2} \left(\frac{d\eta}{d\xi} \right)^2 = \mathcal{E}_0 - W(\eta) \equiv -\frac{B}{6D} (\eta - \eta_1)(\eta - \eta_2)(\eta - \eta_3). \quad (31)$$

Notons qu'en tant que polynôme d'ordre 3, on a, par identification du terme de degré 2

$$+\frac{B}{6D}(\eta_1 + \eta_2 + \eta_3) = \frac{1}{2D}(1 - v) \quad (32)$$

soit la relation sur la vitesse

$$v = 1 + \frac{B}{3}(\eta_1 + \eta_2 + \eta_3). \quad (33)$$

De plus, on a

$$\lim_{\mathcal{E}_0 \rightarrow \mathcal{E}_{\max}^-} \eta_1 = \eta_{\max}, \quad (34)$$

$$\lim_{\mathcal{E}_0 \rightarrow \mathcal{E}_{\max}^-} \eta_3 = \eta_{\max}. \quad (35)$$

et de manière symétrique (mais ce cas sera à exclure, car η_1 doit rester négatif)

$$\lim_{\mathcal{E}_0 \rightarrow \mathcal{E}_{\min}^+} \eta_1 = \eta_{\min}, \quad (36)$$

$$\lim_{\mathcal{E}_0 \rightarrow \mathcal{E}_{\min}^+} \eta_2 = \eta_{\min}. \quad (37)$$

Par la suite, nous poserons

$$\eta(\xi) = \eta_2 \cos^2 \Psi(\xi) + \eta_1 \sin^2 \Psi(\xi) \quad (= \eta_2 + (\eta_1 - \eta_2) \sin^2 \Psi = \eta_1 + (\eta_2 - \eta_1) \cos^2 \Psi), \quad (38)$$

et l'on a alors

$$\eta(\xi) - \eta_1 = (\eta_2 - \eta_1) \cos^2 \Psi(\xi), \quad (39)$$

$$\eta(\xi) - \eta_2 = (\eta_1 - \eta_2) \sin^2 \Psi(\xi), \quad (40)$$

$$\eta(\xi) - \eta_3 = (\eta_2 - \eta_3) - (\eta_2 - \eta_1) \sin^2 \Psi(\xi). \quad (41)$$

De fait, on a les deux expressions suivantes :

$$\frac{d\eta}{d\xi} = 2(\eta_2 - \eta_1) \cos \Psi \sin \Psi \frac{d\Psi}{d\xi}, \quad (42)$$

$$-\frac{B}{6D}(\eta - \eta_1)(\eta - \eta_2)(\eta - \eta_3) = \frac{B}{6D}(\eta_2 - \eta_1)^2 \cos^2 \Psi \sin^2 \Psi [(\eta_2 - \eta_3) - (\eta_2 - \eta_1) \sin^2 \Psi], \quad (43)$$

et (31) donne ainsi

$$2 \left\{ (\eta_2 - \eta_1)^2 \cos^2 \Psi \sin^2 \Psi \right\} \left(\frac{d\Psi}{d\xi} \right)^2 = \frac{B(\eta_2 - \eta_3)}{6D} \{ \cos^2 \Psi \sin^2 \Psi (\eta_2 - \eta_1)^2 \} [1 - m \sin^2 \Psi] \quad (44)$$

avec

$$\boxed{m = \frac{\eta_2 - \eta_1}{\eta_2 - \eta_3} = \frac{H}{\eta_2 - \eta_3} \in]0, 1[}, \quad (45)$$

ce qui donne après simplification

$$2 \left(\frac{d\Psi}{d\xi} \right)^2 = \frac{B(\eta_2 - \eta_3)}{6D} [1 - m \sin^2 \Psi], \quad (46)$$

soit

$$d\xi = \sqrt{\frac{12D}{B(\eta_2 - \eta_3)}} \times \frac{d\Psi}{\sqrt{1 - m \sin^2 \Psi}}, \quad (47)$$

soit

$$\xi(\Psi) = \sqrt{\frac{12D}{B(\eta_2 - \eta_3)}} \int_0^\Psi \frac{d\psi}{\sqrt{1 - m \sin^2 \psi}} = \sqrt{\frac{12D}{B(\eta_2 - \eta_3)}} F(\Psi|m), \quad (48)$$

avec F la fonction elliptique incomplète de première espèce. Les fonction cnoïdales se définissent alors comme

$$\cos \Psi(\xi) = \operatorname{cn} \left(\frac{\xi}{\Lambda} \middle| m \right), \quad \sin \Psi(\xi) = \operatorname{sn} \left(\frac{\xi}{\Lambda} \middle| m \right). \quad (49)$$

avec

$$\Lambda = 2 \sqrt{\frac{3D}{B(\eta_2 - \eta_3)}}. \quad (50)$$

On obtient in fine

$$\eta(\xi) = \eta_1 + (\eta_2 - \eta_1) \operatorname{cn}^2 \left(\frac{\xi}{\Lambda} \middle| m \right). \quad (51)$$

Période spatiale : La période spatiale T^ξ est telle que

$$T^\xi = 2\Lambda F\left(\Psi = \frac{\pi}{2} \middle| m\right) = 2\Lambda K(m) = 4\sqrt{\frac{3D}{B(\eta_2 - \eta_3)}} K(m), \quad (52)$$

où $K(m)$ désigne la fonction elliptique complète de première espèce. Pour mémoire, on a

$$K(m = 1 - \mu) \underset{\mu \rightarrow 0}{=} 2 \log 2 - \frac{1}{2} \log \mu + \mathcal{O}(\mu). \quad (53)$$

Enfin, la condition (26) de moyenne nulle s'écrit (par symétrie)

$$0 = \int_0^{\frac{1}{2}T^\xi} \left[\eta_1 + (\eta_2 - \eta_1) \operatorname{cn}^2 \left(\frac{\xi}{\Lambda} \middle| m \right) \right] d\xi = \int_0^{\frac{\pi}{2}} [\eta_1 + (\eta_2 - \eta_1) \cos^2 \Psi] \left(\frac{d\xi}{d\Psi} \right) d\Psi \quad (54)$$

$$= \Lambda \int_0^{\frac{\pi}{2}} \frac{\eta_1 + (\eta_2 - \eta_1) \cos^2 \Psi}{\sqrt{1 - m \sin^2 \Psi}} d\Psi \quad (55)$$

Enfin, on a

$$\eta_1 + (\eta_2 - \eta_1) \cos^2 \Psi = \eta_2 - (\eta_2 - \eta_1) \sin^2 \Psi = \eta_2 + (\eta_2 - \eta_3)(1 - m \sin^2 \Psi - 1) \quad (56)$$

$$= \eta_3 + (\eta_2 - \eta_3)(1 - m \sin^2 \Psi) = \eta_3 + \frac{\eta_2 - \eta_1}{m}(1 - m \sin^2 \Psi) \quad (57)$$

d'où la condition (26) de moyenne nulle qui devient

$$0 = \Lambda \int_0^{\frac{\pi}{2}} \frac{\eta_3 + \frac{\eta_2 - \eta_1}{m}(1 - m \sin^2 \Psi)}{\sqrt{1 - m \sin^2 \Psi}} d\Psi \quad (58)$$

soit la relation

$$\frac{\eta_2 - \eta_1}{m} E(m) = -\eta_3 K(m), \quad (59)$$

ce qui est cohérent dans la mesure où par hypothèse, on a : $\eta_2 - \eta_1 > 0$ et $\eta_3 < 0$.

2.1.1 Relations entre paramètres

Comme pour la solution soliton de KdV, nous allons regarder les relations entre les paramètres physiques que sont

- la hauteur $H = \eta_2 - \eta_1$;
- la période T^ξ ;
- la vitesse v ;

et les autres paramètres introduits dans le problème (B, D, m, Λ) .

Pour rappel, on a les relations suivantes, données respectivement par (33, 45, 50, 52, 59)

$$v = 1 + \frac{B}{3}(\eta_1 + \eta_2 + \eta_3) \quad (60)$$

$$m = \frac{H}{\eta_2 - \eta_3} \quad (61)$$

$$\Lambda = 2\sqrt{\frac{3Dm}{BH}} \quad (62)$$

$$T^\xi = 4\sqrt{\frac{3Dm}{BH}} K(m) \quad (63)$$

$$\eta_3 = -\frac{H E(m)}{m K(m)} \quad (64)$$

$$H = \eta_2 - \eta_1 \quad (65)$$

De (61) et (64), on tire les expressions suivantes

$$\eta_2 = \eta_3 + \frac{H}{m} = \frac{H}{m} \left[1 - \frac{E(m)}{K(m)} \right], \quad (66)$$

$$\eta_1 = \eta_2 - H = \frac{H}{m} \left[1 - m - \frac{E(m)}{K(m)} \right]. \quad (67)$$

Sur la figure 2 sont tracées les allures de η_1 et η_2 en fonction du paramètre m , ainsi que la vitesse v sous la forme de la quantité $3m(v-1)/(2BH)$. On voit qu'on peut être subsonique pour de petits m .

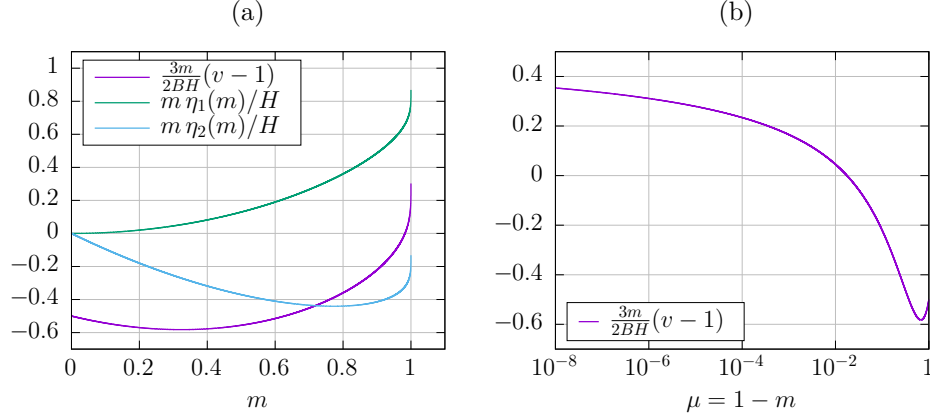


FIGURE 2 – En fonction de m , allure de $\eta_1(m)$ et $\eta_2(m)$ adimensionnés ainsi avec (a) en échelle linéaire et (b) en échelle log–lin en fonction de $\mu = 1 - m$, allure de $3m(v-1)/(2BH)$.

2.1.2 Synthèse $D > 0$

En pratique, on mesure la hauteur H et la période T^ξ ce qui nous permet d'en déduire un certain paramètre m et l'on a alors les relations suivantes

$$T^\xi = 4\sqrt{\frac{3Dm}{BH}} K(m), \quad (68)$$

$$v = 1 + \frac{2BH}{3m} \left[1 - \frac{m}{2} - \frac{3}{2} \frac{E(m)}{K(m)} \right]. \quad (69)$$

et le signal est donné par

$$\eta(\xi) = \eta_1 + H \operatorname{cn}^2 \left(\frac{\xi}{\Lambda} \middle| m \right), \quad (70)$$

$$H = \eta_2 - \eta_1 > 0, \quad (71)$$

$$\eta_1 = \frac{H}{m} \left[1 - m - \frac{E(m)}{K(m)} \right], \quad (72)$$

$$\eta_2 = \frac{H}{m} \left[1 - \frac{E(m)}{K(m)} \right], \quad (73)$$

$$\eta_3 = -\frac{H}{m} \frac{E(m)}{K(m)}, \quad (74)$$

$$\Lambda = 2\sqrt{\frac{3Dm}{BH}}. \quad (75)$$

Le système autorise bien des solutions subsoniques, pour de petits m . On voit en fait en matière de potentiel effectif W que l'on peut bien avoir des solutions de type cnoïdales dans le cas $(1-v) < 0$, il suffit de prendre $C_1 > 0$ proche de zéro pour s'en convaincre graphiquement.

2.2 Dispersion négative ($B > 0$, $D < 0$) (dépressions a priori subsoniques)

On se place désormais dans le cas ($B > 0$, $D < 0$) pour lequel on a $v < 1$ pour les solitons en dépression (subsoniques).

Les choses sont en fait symétriques, on a juste pris l'opposé du cas précédent à cause du signe de D qui devient négatif. Les extréma locaux sont donc inversés et l'on a

Cas $C_1 > 0$ à éliminer a priori : On doit avoir $0 < C_1 < \frac{(v-1)^2}{2B}$ et l'on a

$$\eta_{\max} = \eta_+ < 0, \quad (76)$$

$$\eta_{\min} = \eta_- < \eta_+ < 0. \quad (77)$$

On pourra osciller entre des valeurs négatives (cf. Fig. 3 (a)). Ce n'est pas ce que nous recherchons comme solution. En fait ce cas pourra se traiter pour $v - 1 > 0$ (cf. conclusions)

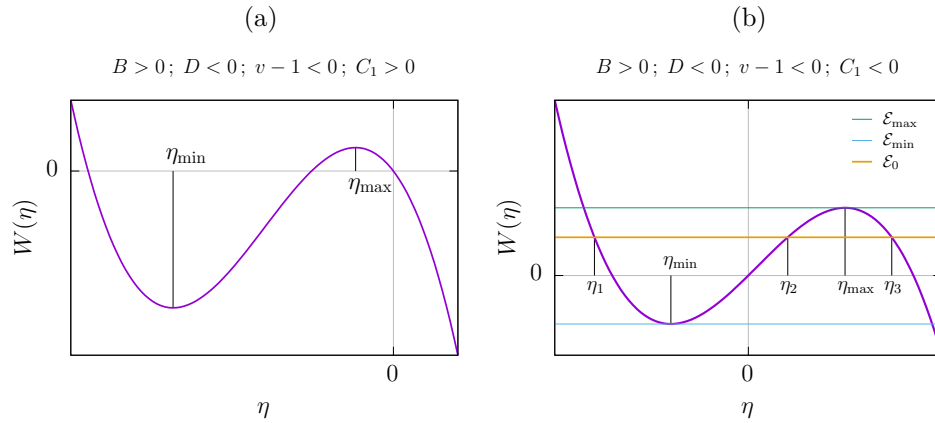


FIGURE 3 – Notations et allure des potentiels dans le cas $D < 0$ et $B > 0$, pour (a) $C_1 > 0$ et (b) $C_1 < 0$.

On va donc dorénavant supposer $C_1 < 0$. Sous ces conditions, on a

$$\eta_{\max} = \eta_+ > 0, \quad (78)$$

$$\eta_{\min} = \eta_- < 0. \quad (79)$$

On va choisir \mathcal{E}_0 dans l'intervalle $]\mathcal{E}_{\min}, \mathcal{E}_{\max}[$. L'équation $W(\eta) = \mathcal{E}_0$ possède trois solutions $\eta_1 < \eta_2 < \eta_3$ et l'orbite recherchée sera telle que $\eta \in [\eta_1, \eta_2]$. On doit résoudre l'équation donnée par la quadrature :

$$\frac{1}{2} \left(\frac{d\eta}{d\xi} \right)^2 = \mathcal{E}_0 - W(\eta) \equiv -\frac{B}{6D} (\eta - \eta_1)(\eta - \eta_2)(\eta - \eta_3). \quad (80)$$

Par la suite, nous poserons $H = \eta_2 - \eta_1$ et le paramétrage elliptique

$$\eta(\xi) = \eta_1 \cos^2 \Psi(\xi) + \eta_2 \sin^2 \Psi(\xi) \quad (= \eta_2 - H \cos^2 \Psi = \eta_1 + H \sin^2 \Psi), \quad (81)$$

si bien que l'on a (80) qui devient

$$2H^2 \sin^2 \Psi \cos^2 \Psi \left(\frac{d\Psi}{d\xi} \right)^2 = +\frac{B}{6D} H^2 \cos^2 \Psi \sin^2 \Psi (\eta_3 - \eta_1 - H \sin^2 \Psi). \quad (82)$$

qui se simplifie en

$$\left(\frac{d\Psi}{d\xi} \right)^2 = -\frac{B}{12D} (\eta_3 - \eta_1) (1 - m \sin^2 \Psi), \quad (83)$$

en posant

$$m = \frac{H}{\eta_3 - \eta_1} = \frac{\eta_2 - \eta_1}{\eta_3 - \eta_1} \in]0, 1[. \quad (84)$$

ce qui donne

$$\xi(\Psi) = \sqrt{\frac{12D}{B(\eta_1 - \eta_3)}} \int_0^\Psi \frac{d\psi}{\sqrt{1 - m \sin^2 \psi}} = \sqrt{\frac{12D}{B(\eta_1 - \eta_3)}} F(\Psi|m), \quad (85)$$

avec F la fonction elliptique incomplète de première espèce. Les fonction cnoïdales se définissent alors comme

$$\cos \Psi(\xi) = \operatorname{cn} \left(\frac{\xi}{\Lambda} \middle| m \right), \quad \sin \Psi(\xi) = \operatorname{sn} \left(\frac{\xi}{\Lambda} \middle| m \right). \quad (86)$$

avec

$$\Lambda = 2\sqrt{\frac{3D}{B(\eta_1 - \eta_3)}}. \quad (87)$$

On obtient in fine

$$\eta(\xi) = \eta_2 - H \operatorname{cn}^2 \left(\frac{\xi}{\Lambda} \middle| m \right). \quad (88)$$

Période spatiale : La période spatiale T^ξ est telle que

$$T^\xi = 2\Lambda F \left(\Psi = \frac{\pi}{2} \middle| m \right) = 2\Lambda K(m) = 4\sqrt{\frac{3D}{B(\eta_1 - \eta_3)}} K(m), \quad (89)$$

où $K(m)$ désigne la fonction elliptique complète de première espèce.

Condition de moyenne nulle : On doit avoir encore (sur une demi-période par symétrie)

$$\int_0^{\frac{1}{2}T^\xi} \eta(\xi) d\xi = 0 = \int_0^{\frac{1}{2}T^\xi} \left[\eta_2 - H \operatorname{cn}^2 \left(\frac{\xi}{\Lambda} \middle| m \right) \right] d\xi = \int_0^{\pi/2} [\eta_2 - H \cos^2 \Psi] \left(\frac{d\xi}{d\Psi} \right) d\Psi \quad (90)$$

$$= \int_0^{\pi/2} \left[\frac{\eta_3 - \frac{H}{m}(1 - m \sin^2 \Psi)}{\sqrt{1 - m \sin^2 \Psi}} \right] d\Psi = \eta_3 K(m) - \frac{H}{m} E(m). \quad (91)$$

Synthèse $D < 0$

$$\eta_3 = \frac{H E(m)}{m K(m)}, \quad (92)$$

$$\eta_1 = \eta_3 - \frac{H}{m} = \frac{H}{m} \left[\frac{E(m)}{K(m)} - 1 \right], \quad (93)$$

$$\eta_2 = H + \eta_1 = \frac{H}{m} \left[m - 1 + \frac{E(m)}{K(m)} \right]. \quad (94)$$

et l'on a donc

$$T^\xi = 4\sqrt{\frac{-3Dm}{BH}} K(m), \quad (95)$$

$$v = 1 - \frac{2BH}{3m} \left[1 - \frac{m}{2} - \frac{3 E(m)}{2 K(m)} \right], \quad (96)$$

$$\Lambda = 2\sqrt{\frac{3|D|m}{BH}} \quad (97)$$

$$\eta(\xi) = \eta_2 - H \operatorname{cn}^2 \left(\frac{\xi}{\Lambda} \middle| m \right). \quad (98)$$

Ces relations sont analogues au cas $D > 0$, à ceci près que le rapport $3m(v - 1)/(2BH)$ est de signe opposé. On a bien des dépressions subsoniques pour $m \rightarrow 1$, en revanche, pour m petit, on peut avoir des dépressions supersoniques (cf. Fig. 4)

Enfin, en figure 5, on montre une solution sur 2 périodes spatiales Λ .

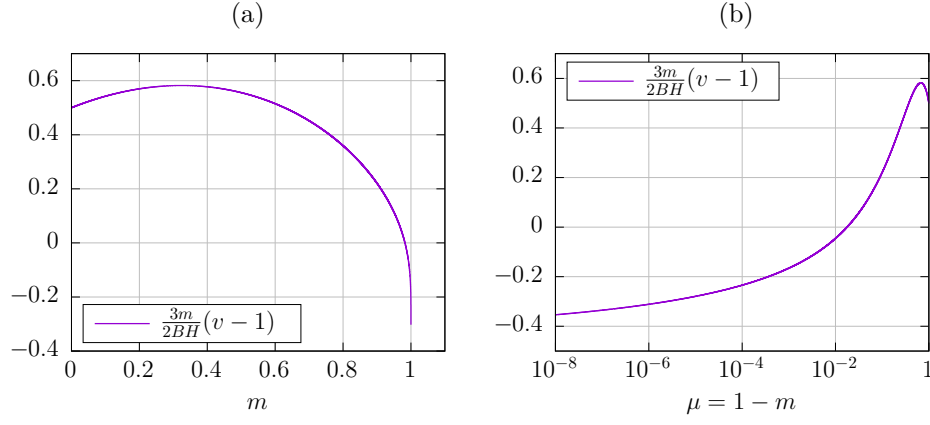


FIGURE 4 – En fonction de m ou $\mu = 1 - m$, allure de $3m(v-1)/(2BH)$: (a) en échelle linéaire et (b) en échelle log-lin.

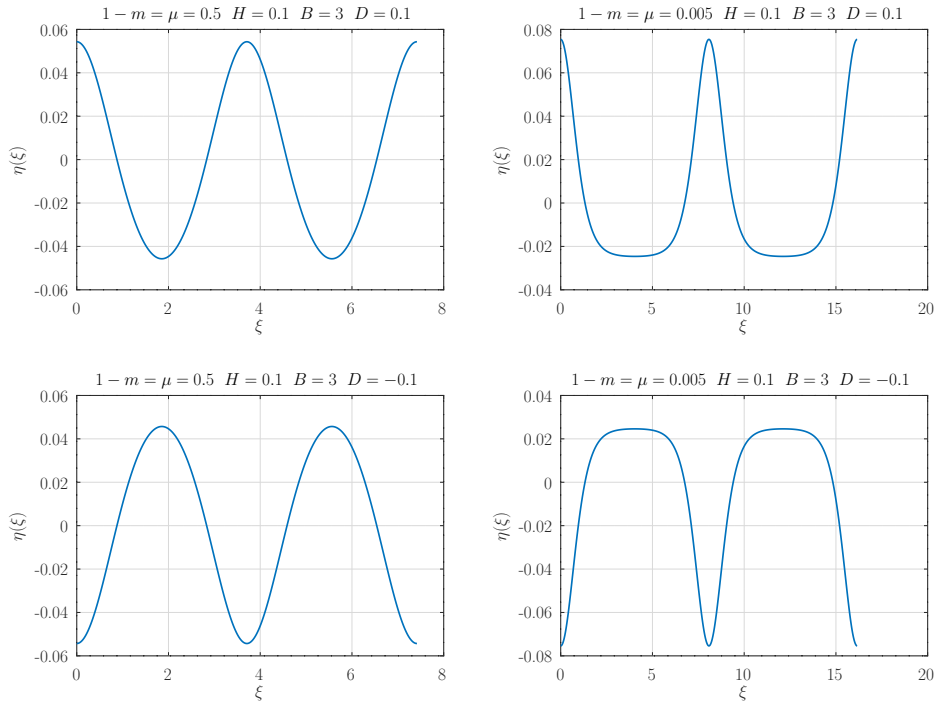


FIGURE 5 – Allures de solutions cnoïdales pour différents $\mu = 1 - m$ et des D positifs ou négatifs, sur 2 périodes Λ . [Attention, ici ξ vaut ξ/Λ !]

3 Cas périodique, équation KdV en angle θ

Dans le cas périodique, dans le tore $\mathbb{T}^1 = \mathbb{R}/2\pi\mathbb{Z}$, l'équation de Korteweg-de Vries pour des ondes se propageant dans le sens direct, sera écrite sous la forme, en variable azimutale

$$\eta_t + \Omega_0 [(1 + B\eta)\eta_\theta + D\eta_{\theta\theta\theta}] = 0. \quad (99)$$

En matière de dimension, on a $[B] = L^{-1}$ et $[D] = 1$, D ici est donc **sans dimension**. La période T^θ devra donc valoir $2\pi/N$ avec $N \in \mathbb{N}^*$.

Pour une solution à **1 onde solitaire** de hauteur $H > 0$ (que ce soit en élévation ou en dépression),

on a alors

$$T^\theta = \frac{2\pi}{N_\theta} = 4\sqrt{\frac{3|D|m}{BH}} K(m), \quad \text{avec } N_\theta = 1 \quad (100)$$

$$v = 1 + \text{sign}(D) \frac{2BH}{3m} \left[1 - \frac{m}{2} - \frac{3}{2} \frac{E(m)}{K(m)} \right], \quad (101)$$

où v désigne ici une pulsation angulaire renormalisée par Ω_0 .

Question : Que doivent valoir BH et m pour avoir la relation (100) dans nos expériences ? À D donné, on doit avoir BH « pas trop petit » et $\sqrt{m} K(m)$ « pas trop grand », sachant que la quantité $\sqrt{m} K(m)$ diverge lorsque $m \rightarrow 1$ et dont l'allure est donnée en figure 6.

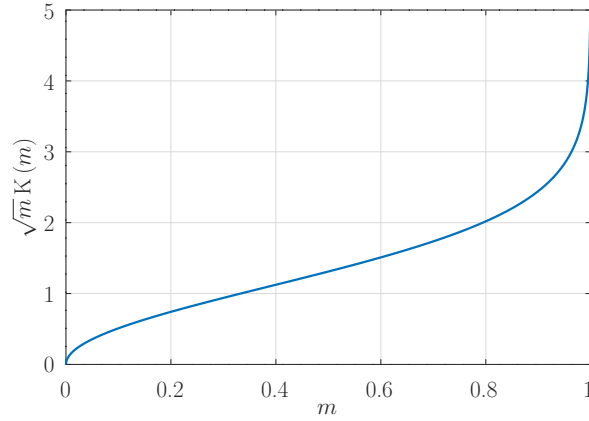


FIGURE 6 – Allure de la fonction $\sqrt{m} K(m)$.

Pour rappel, nous avons dans le cas en V, la relation de dispersion suivante

$$\omega^2(k) = \left[g_{\text{eff}} \frac{k}{R} + \frac{\sigma_{\text{eff}}}{\rho R^3} k^3 \right] \Psi[Ak] \quad (102)$$

avec $A = WR/(2R_c)$, ce qui donne à l'ordre k^4

$$\omega^2(k) = \Omega_0^2 k^2 \left[1 + \left(\frac{\sigma_{\text{eff}}}{\rho g_{\text{eff}} R^2} - \frac{|\Psi'''(0)| A^2}{6} \right) k^2 \right] + \mathcal{O}(k^6). \quad (103)$$

avec $\Omega_0^2 = g_{\text{eff}} A/R$. On va maintenant s'intéresser à l'équation KdV en θ suivante

$$0 = \partial_t \eta + \Omega_0 [(1 + B\eta_\theta)\eta_\theta + D\eta_{\theta\theta\theta}]. \quad (104)$$

avec

$$D = -\frac{1}{2} \left(\frac{\sigma_{\text{eff}}}{\rho g_{\text{eff}} R^2} - \frac{|\Psi'''(0)|}{6} A^2 \right). \quad (105)$$

et l'on posera $B = \lambda/W$ (W est la longueur naturelle à utiliser ici, et $[B] = L^{-1}$).

Ordres de grandeur : $g_{\text{eff}} = 9.81 \times \sin(4.5^\circ) \simeq 0.77$, $R_c = 0.075$, $\sigma_{\text{eff}} \simeq 0.055$, $R = R_c + W/2$. On considère $\Psi \equiv \tanh$ et donc $|\psi'''(0)| = 2$. Pour $W = 0.02$, on a $D \simeq -2.1 \times 10^{-3}$ et pour $W = 0.03$, on a $D \simeq +2.8 \times 10^{-3}$.

3.1 Exemple de mode 1

On va commencer par $T^\xi = 2\pi$. On va choisir m proche de 1 pour être certain d'avoir quelque chose de très creusé. On va considérer qu'on est dans une configuration anti-flaque et que $D < 0$. Une illustration est donnée en figure 7.

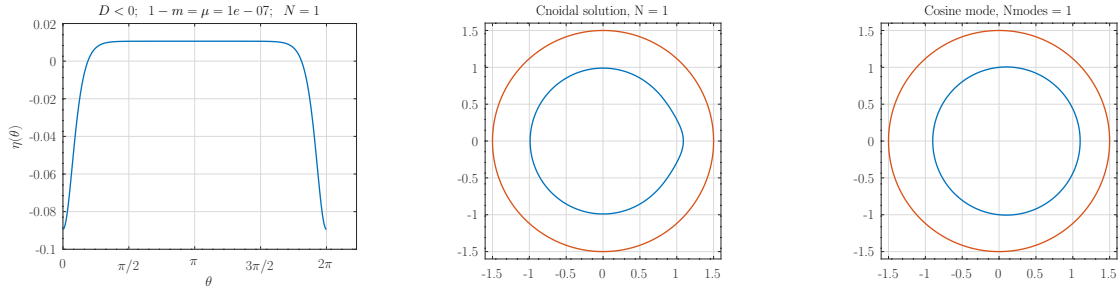


FIGURE 7 – Pour $N_\theta = 1$, tracé de la cnoïdale et représentation dans l'espace physique. La solution sinusoidale (à droite) est montrée à titre de comparaison.

3.2 Exemple de mode polygonal

On va maintenant prendre $N > 1$ et considérer $T^\xi = 2\pi/N$. Une illustration est donnée en figure 8 pour $N = 5$.

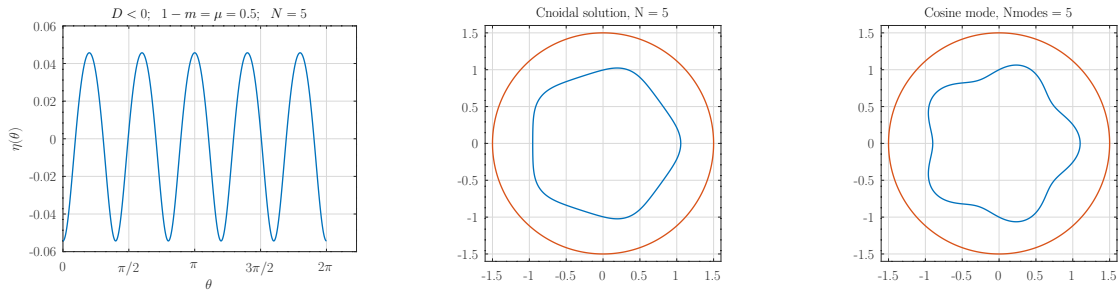


FIGURE 8 – Pour $N_\theta = 5$, tracé de la cnoïdale et représentation dans l'espace physique. La solution sinusoidale (à droite) est montrée à titre de comparaison.

3.3 Commentaires sur les vitesses obtenues

On obtient alors (cf. fichier Octave associé : des vitesses qui peuvent être très variables, positives et négatives `prefacteur_vitesse.m` et `abaques_vitesse.m`). Pour cela, on part de D et B donnés, on fait varier m . On en déduit H et $1 - v$ via (100) et (101)².

Une illustration de cela se trouve en figure 9. On voit que pour $D > 0$, on peut avoir des solutions supersonique en élévation (m petit) mais aussi des solutions subsoniques en élévation ($\mu = 1 - m$ petit, i.e. m proche de 1). On aura l'inverse pour $D < 0$.

2. **Remarque :** Il faudra reprendre les calculs de Ludu [A. Ludu, A. Raghavendra, *Appl. Num. Math.*, **141**, 167–184 (2019)] et estimer les coefficients B pour voir si l'on peut ou non avoir de telles solutions.

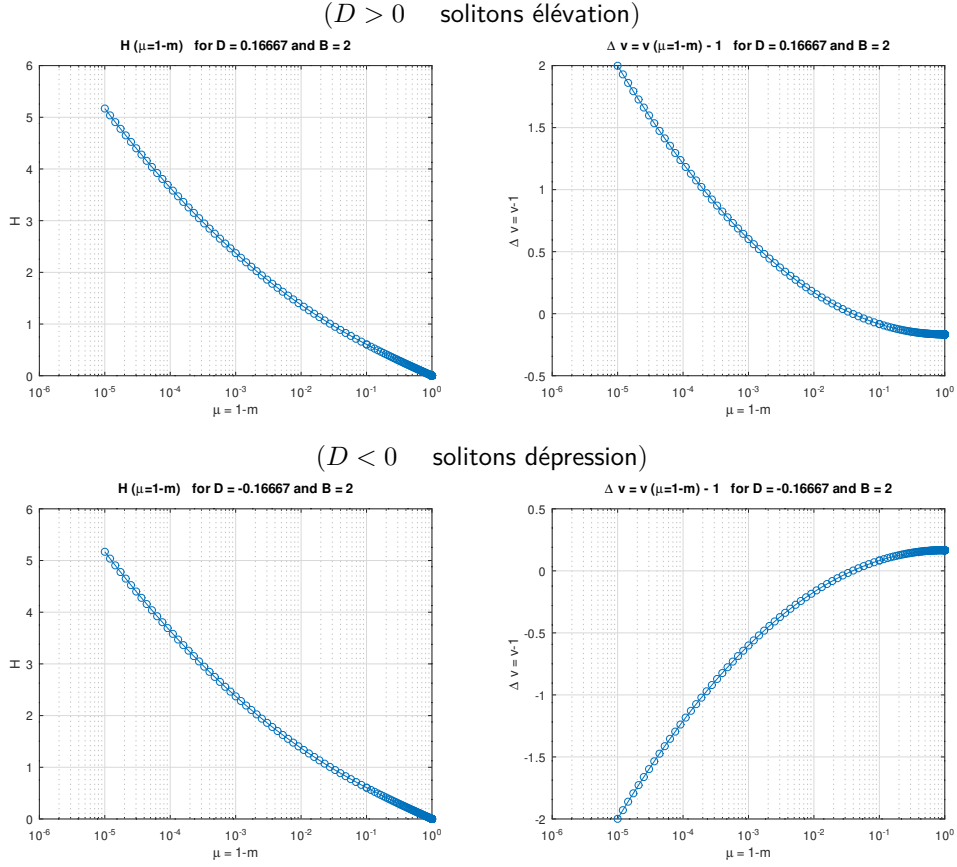


FIGURE 9 – (haut) Pour $D = +1/6, B = 2, N_\theta = 1$, tracé de la hauteur H et de $\Delta v = v - 1$. (bas) Pour $D = -1/6, B = 2, N_\theta = 1$, idem, en changeant le signe de la dispersion D . Concernant $\Delta v = v - 1$, le fait de changer le signe de la dispersion D reviendra à changer le signe de $\Delta v = v - 1$.

3.4 Comparaisons avec les expériences

Pour un système physique donné (i.e. une plaque donnée et un volume de liquide donné), on se retrouve avec certaines valeurs de D et B donnés.

Ce qu'il faut faire, c'est : pour une série de solitons, mesurer H ainsi que leur profil et leur vitesse qui doivent vérifier

$$\eta(\theta) = \text{sign}(D) H \text{cn}^2 \left(\sqrt{\frac{BH}{12Dm}} \theta \middle| m \right) + \text{constante}, \quad (106)$$

$$v \equiv \frac{\Omega}{\Omega_0} = 1 + \text{sign}(D) \frac{2BH}{3m} \left[1 - \frac{m}{2} - \frac{3}{2} \frac{E(m)}{K(m)} \right], \quad (107)$$

$$2\pi = 4 \sqrt{\frac{3|D|m}{BH}} K(m), \quad (108)$$

sachant que Ω_0 et D sont directement donnés par la relation de dispersion azimutale des ondes variqueuses. De (108), on déduit la relation

$$BH = \frac{12}{\pi^2} |D|m [K(m)]^2, \quad (109)$$

ce qui entraîne, via (107), que

$$\Delta v(m) \equiv v - 1 = \text{sign}(D) \frac{2}{3m} \frac{12}{\pi^2} |D|m K^2(m) \left[1 - \frac{m}{2} - \frac{3}{2} \frac{E(m)}{K(m)} \right] \quad (110)$$

$$= \frac{8D}{\pi^2} K^2(m) \left[1 - \frac{m}{2} - \frac{3}{2} \frac{E(m)}{K(m)} \right] \equiv \frac{8D}{\pi^2} \Phi(m). \quad (111)$$

La figure 10 donne l'allure de la fonction $\Phi(m)$ qui est une fonction monotone donc bijective.

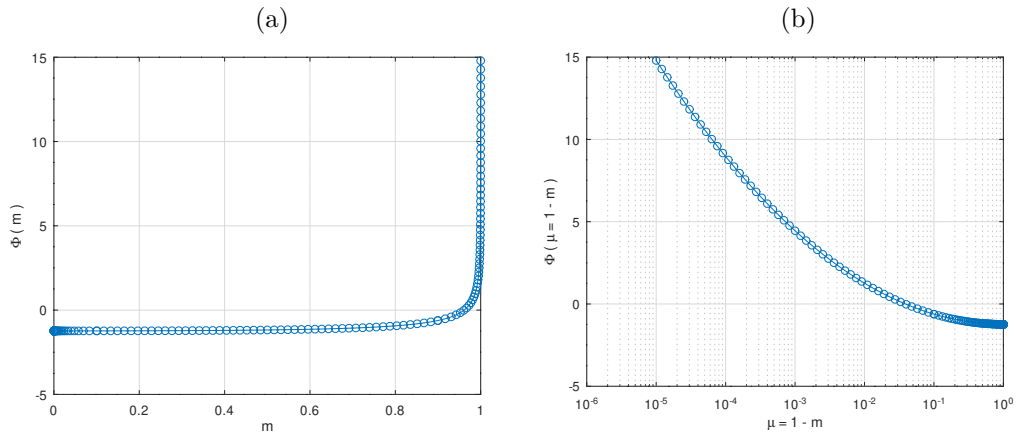


FIGURE 10 – Allure de la fonction $\Phi(m)$ en échelle (a) lin-lin (avec m en abscisse) et (b) log-lin (avec, ici, $\mu = 1 - m$ en abscisse).

À comparer maintenant aux expériences :

Méthodologiquement, a priori, ce qu'on doit faire est la chose suivante :

1. Mesurer les rapports de vitesse $v = \Omega/\Omega_0$ et en déduire expérimentalement les valeurs de m via (111) correspondantes.
2. Mesurer les hauteurs $H[v(m)]$ correspondantes (en prenant le maximum moins le minimum des profils reconstruits) et en déduire le coefficient B , via (109).
3. Bien s'assurer que B est constant pour un tore donné.

Table des matières

1	Propriétés de l'équation KdV en domaine infini (sur \mathbb{R})	1
2	Recherche des solutions cnoïdales	2
2.1	Cas standard ($B > 0$, $D > 0$) et élévations (a priori supersoniques)	3
2.1.1	Relations entre paramètres	6
2.1.2	Synthèse $D > 0$	7
2.2	Dispersion négative ($B > 0$, $D < 0$) (dépressions a priori subsoniques)	8
3	Cas périodique, équation KdV en angle θ	10
3.1	Exemple de mode 1	12
3.2	Exemple de mode polygonal	12
3.3	Commentaires sur les vitesses obtenues	12
3.4	Comparaisons avec les expériences	13
